

# A priori schatten van de scheurbandbreedte binnen het 'uitgesmeerde scheurenconcept'

Arthur Slobbe

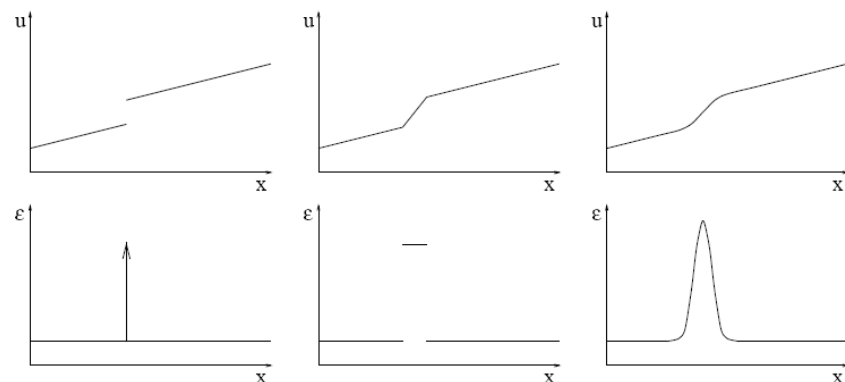
## DOV lezingenavond 2011

24 November, Nieuwegein



## Achtergrond

### Classificatie modellen voor beschrijving scheurgedrag



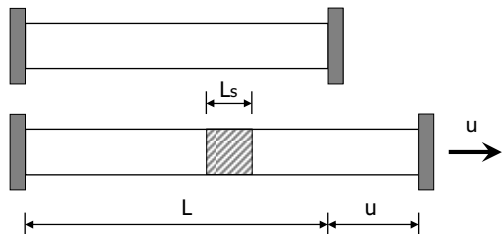
\* Jirasek, M. (2002)  
Objective modeling of strain localization



A priori schatten van de scheurbandbreedte binnen het 'uitgesmeerde scheurenconcept'

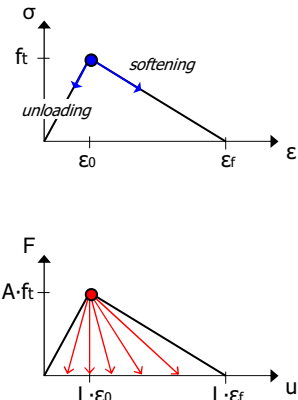


## Achtergrond 'Mesh-size sensitivity'



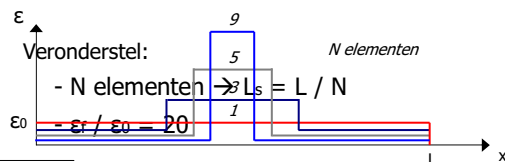
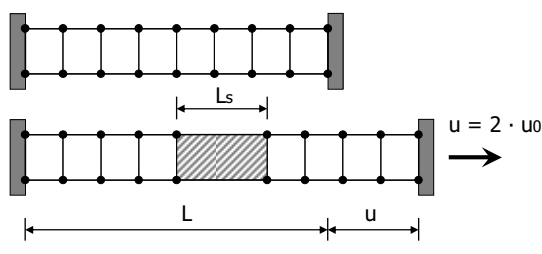
Volledig ontwikkelde scheur in 'softening' zone:

$$u = L_s \cdot \varepsilon_s + L_u \cdot \varepsilon_u = L_s \cdot \varepsilon_f$$

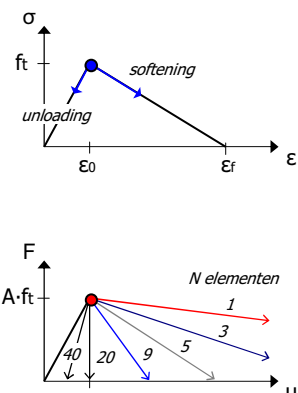


\* Jirasek, M. (2002)  
Objective modeling of strain localization

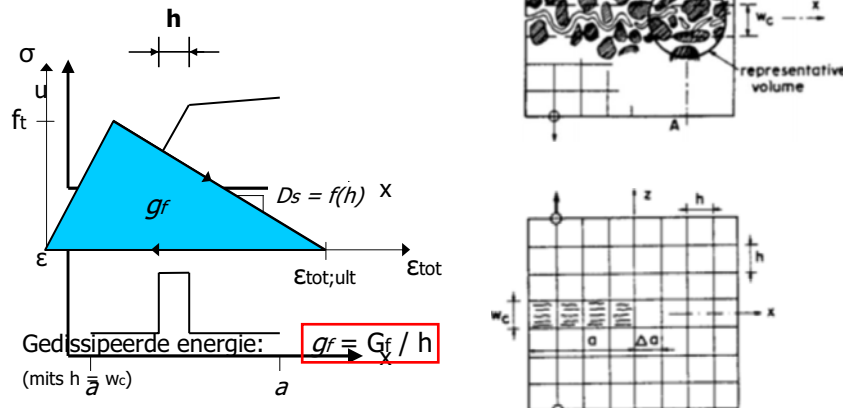
## Achtergrond 'Mesh-size sensitivity'



\* Jirasek, M. (2002)  
Objective modeling of strain localization



## Achtergrond Scheurband model



\* Bazant, Z.P., Oh, B.H. (1983)  
Crack band theory for fracture of concrete

## A priori schatting van $h$

- Als  $h \neq w_c \rightarrow$  Totale gedissipeerde energie  $g_f^{totaal}$  is incorrect!
- Negatieve invloed op correcte predicties voor bezwikklast en bezwikkmode!

Methodieken voor a priori schattingen van  $h$ :

- DIANA
- Volgens J. Oliver (1989)
- Volgens S. Govindjee en anderen (1995)
- Additionele factor van Cervenka (1995)

## A priori schatting van $h$

DIANA

element type and integration	effective band width $h$ for zig-zag fracture propagation through regular mesh (found by trial-and-error for present problem)
	$e$
	$e\sqrt{2}$
	$\frac{1}{2}e\sqrt{2}$
	$e$

Table. 4.I. Recommendations for estimating the crack band width.

\* Rots, J.G. (1988)  
Computational modeling of concrete fracture



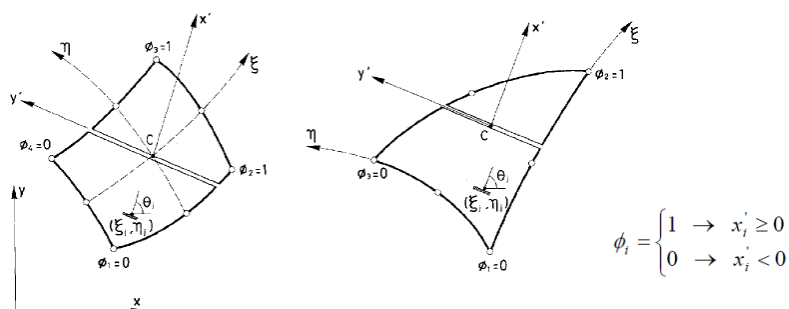
A priori schatten van de scheurbandbreedte binnen het 'uitgesmeerde scheurenconcept'



7

## A priori schatting van $h$

Volgens Oliver\*



$$l^*(\xi_j, \eta_j) = \left( \sum_{i=1}^n \left[ \frac{\partial N_i^*(\xi_j, \eta_j)}{\partial x} \cdot \cos(\theta_j) + \frac{\partial N_i^*(\xi_j, \eta_j)}{\partial y} \cdot \sin(\theta_j) \right] \cdot \phi_i \right)^{-1}$$

\* Oliver, J. (1989)  
A consistent characteristic length for smeared cracking models



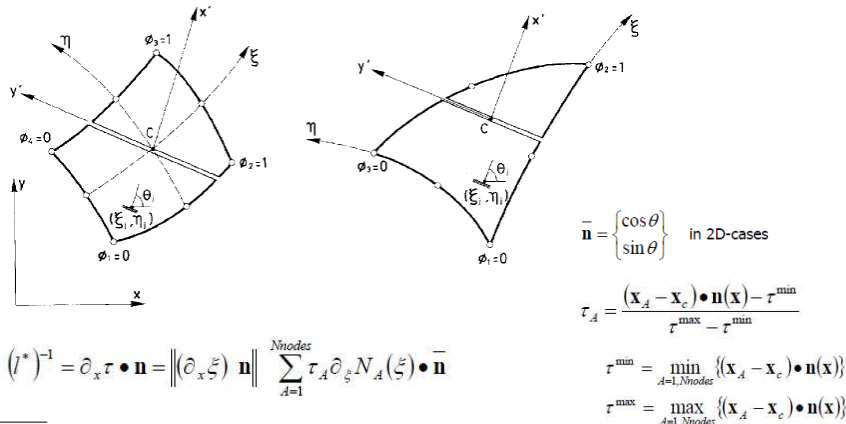
A priori schatten van de scheurbandbreedte binnen het 'uitgesmeerde scheurenconcept'



8

## A priori schatting van $h$

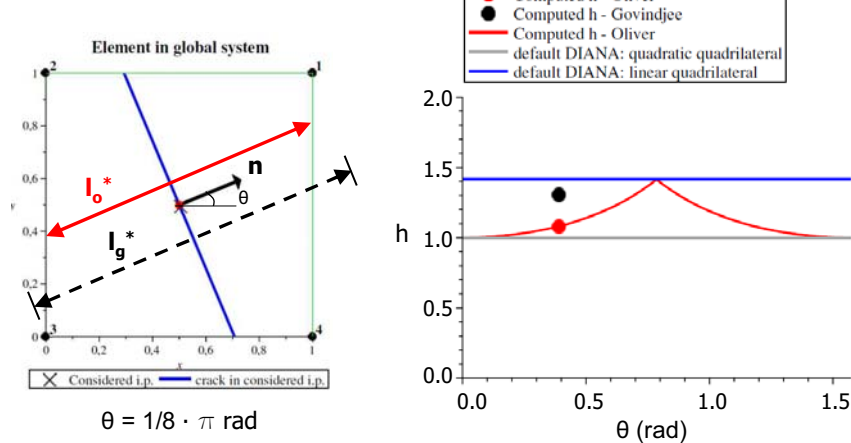
Volgens Govindjee (e.a.)\*



\* Govindjee, S., Kay, J.C., Simo, J.C. (1995)  
Anisotropic modeling and numerical simulation of brittle damage in concrete

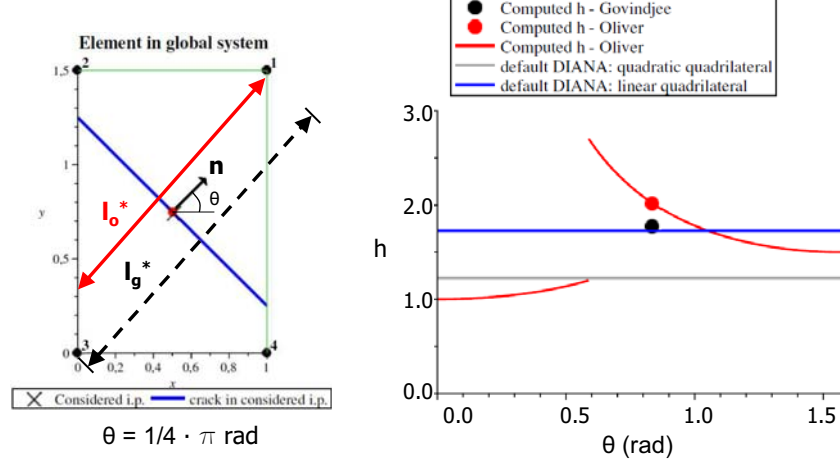
## A priori schatting van $h$

Verschillen Oliver en Govindjee (e.a.)



## A priori schatting van $h$

Verschillen Oliver en Govindjee (e.a.)



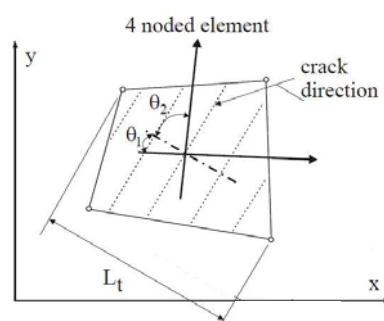
## A priori schatting van $h$

Additionele factor Cervenka

$$L_t' = \gamma L_t$$

$$\gamma(\theta_j) = 1 + (\gamma_{\max} - 1) \cdot \frac{\theta_j}{\pi/4}, \quad \theta_j \in [0, \pi/4]$$

$$\begin{aligned} \gamma_{\max} &= 1.5 \\ \theta_j &= \min(\theta_1, \theta_2) \text{ in radianen} \end{aligned}$$



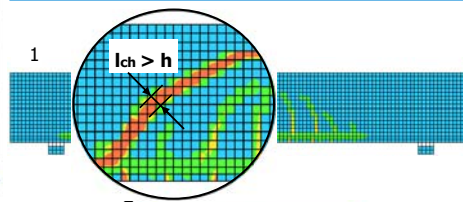
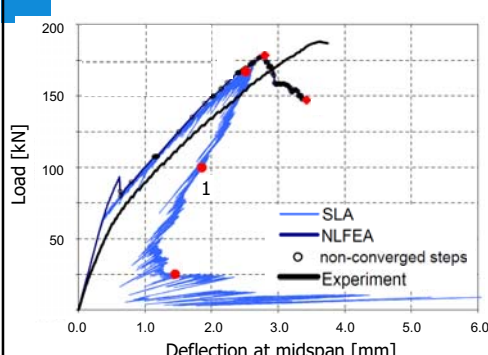
$\gamma = 1.0$  (scheur parallel aan element randen)

$\gamma = 1.5$  (scheur onder  $45^\circ$  tot element randen)

\* Cervenka, J., Cervenka, V. (2010)  
On the uniqueness of numerical solutions of shear failure of deep concrete beams:  
Comparison of smeared and discrete crack approaches

## Numeriek voorbeeld (1)

A priori schatting  $h$  volgens DIANA

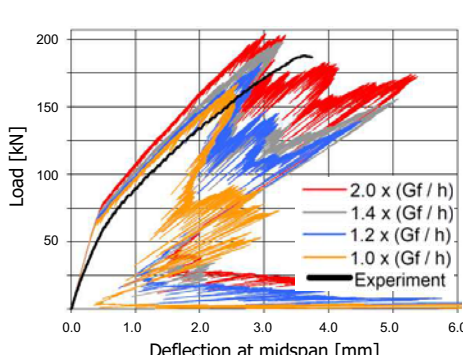
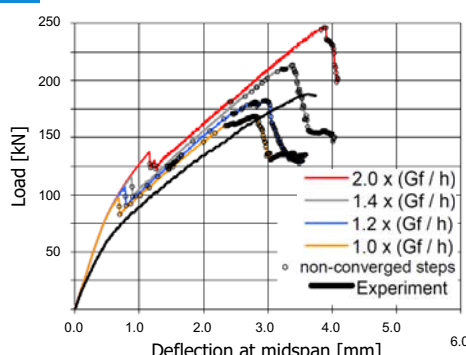


\* Sarkhosh, R., den Uijl, J.A., Braam, C.R., Walraven, J.C. (2010)  
Shear Capacity of Concrete Beams without Shear Reinforcement  
under Sustained Loads - Experimental Results

## Numeriek voorbeeld (1)

A priori schatting  $h$  (handmatig)

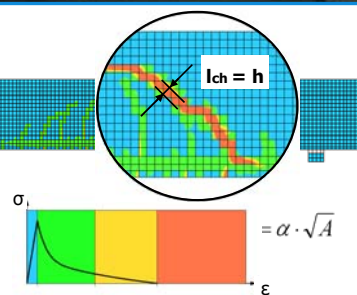
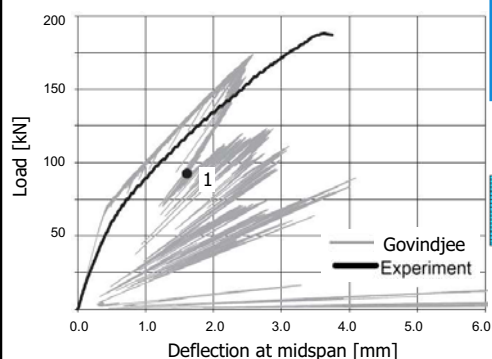
Invloed van  $h$  op bezwijklast & bezwijkmode  $\rightarrow$  niet altijd, zie Hendriks (e.a.) \* !



\* Hendriks, M.A.N., Damoni, C., Belletti, B. (2010)  
Guidelines for non-linear finite element analysis of concrete structures – Crack bandwidth

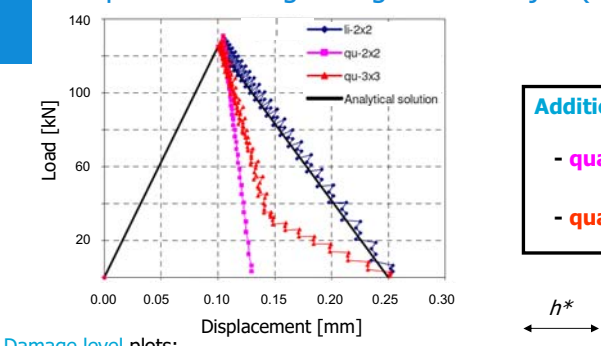
## Numeriek voorbeeld (1)

A priori schatting  $h$  volgens Govindjee (e.a.)



## Numeriek voorbeeld (2)

A priori schatting  $h$  volgens Govindjee (e.a.)

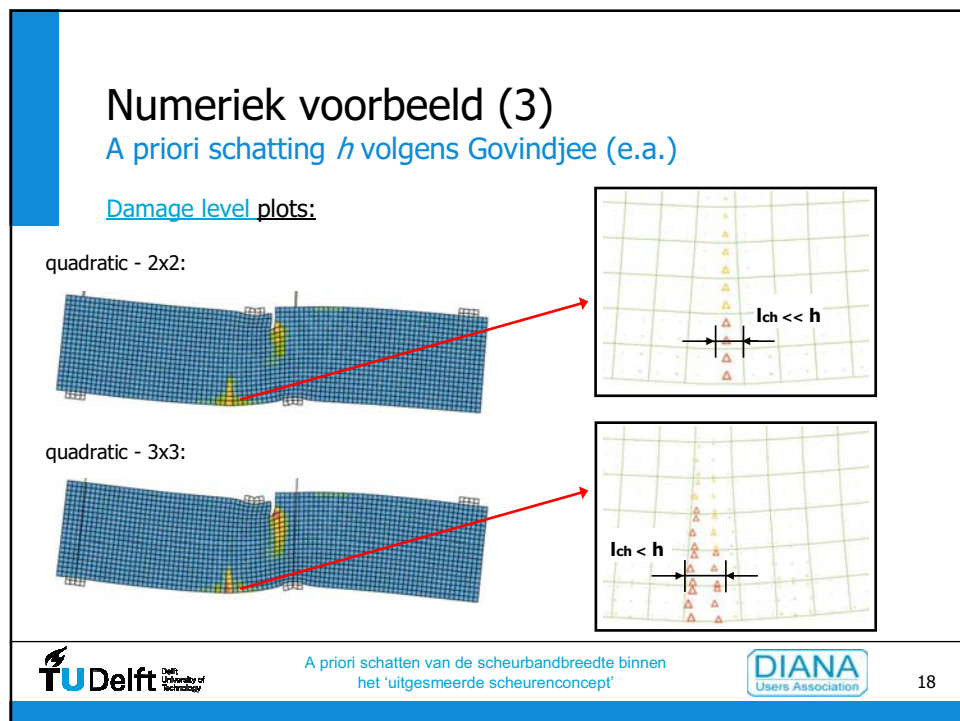
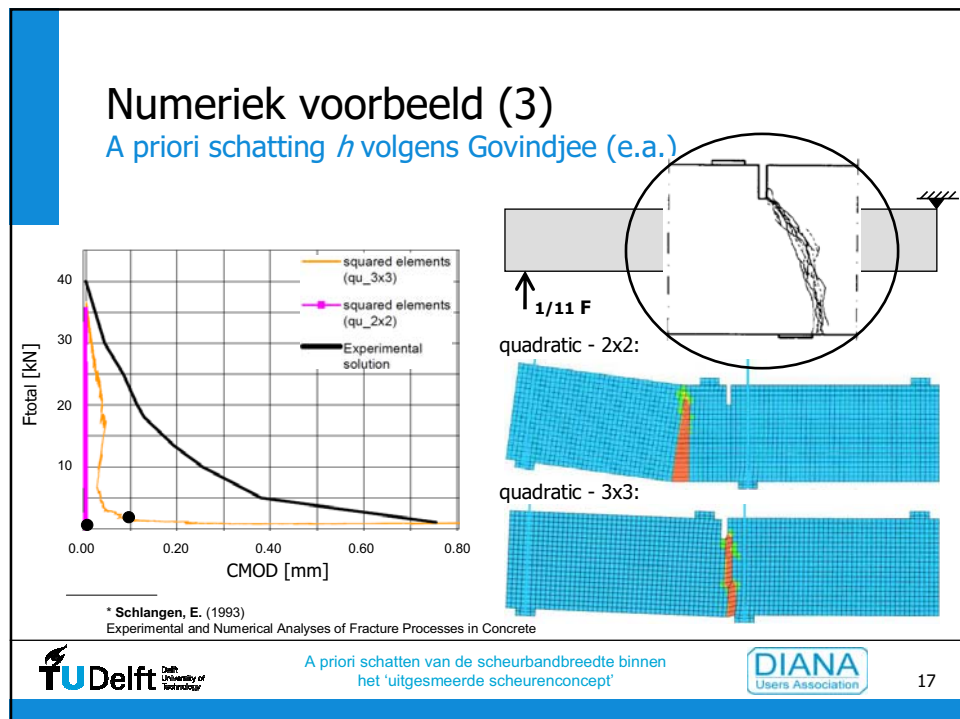


**Additionele factor (1) :**  $h = \alpha \cdot h^*$

- quadratic 2x2  $\rightarrow \alpha = 1/2$
- quadratic 3x3  $\rightarrow \alpha = 13/18$

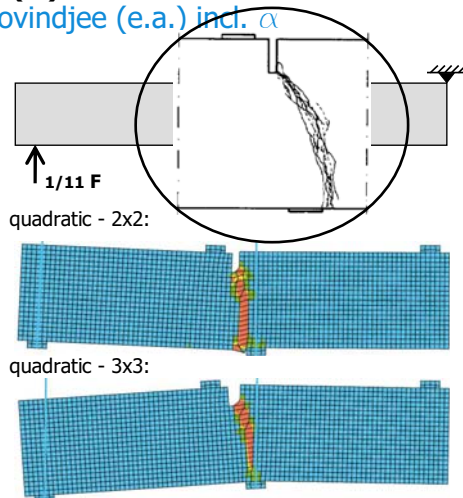
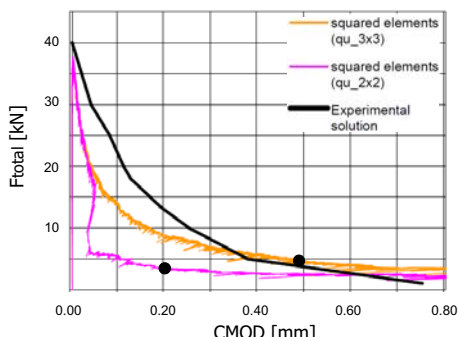
Damage level plots:





## Numeriek voorbeeld (3)

A priori schatting  $h$  volgens Govindjee (e.a.) incl.  $\alpha$



## Huidig onderzoek

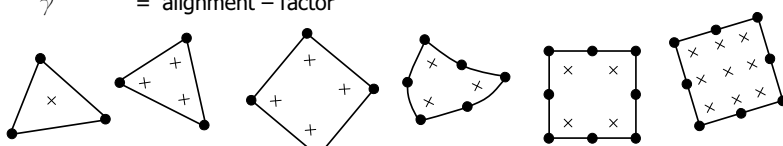
### Samenvattend:

- Verschillende methodieken voor a priori schatten van  $h$ .
- Belang van een goede schatting (verificatie a posteriori!)
- Naast **scheur oriëntatie** binnen het element zijn ook het **integratieschema** en de **orde van het element** van belang voor een goede schatting.

### Verbeterde schatting voor $h$ :

$$h = \alpha \cdot \gamma \cdot h^*$$

$h^*$  = de a priori schatting van de scheurbandbreedte volgens Govindjee (e.a.)  
 $\alpha$  = 'integratie schema – factor'  
 $\gamma$  = 'alignment – factor'



## Huidig onderzoek

Nieuwe testserie:

- Gebruik van [periodieke randvoorwaarden](#).
- Sequentieel Lineaire Analyse – methode als numerieke oplossingsprocedure.

